

# Computación Gráfica

## Texturas Procedurales

### Grupo 2

Guillermo Campelo  
Juan Ignacio Goñi  
Juan Tenaillon  
Santiago Vázquez

June 21, 2010

#### Abstract

Se agregó al motor de Ray Tracing, la posibilidad de utilizar texturas procedurales. Para lograr esto, se implementó Perlin Noise, y se implementaron texturas que se asemejan al fuego, agua, granito, madera, mármol y material de tipo orgánico para triángulos y esferas.

## 1 Introducción

A lo largo de este informe, detallaremos el diseño y desarrollo de la extensión al motor de ray tracing. Esta extensión consistió en agregar texturas procedurales al motor, mediante la implementación de Perlin Noise.

Para realizar la extensión, partimos desde la base de la entrega anterior, donde lo único que tuvimos que hacer fue implementar los nuevos *shaders*.

Para obtener los mismos resultados que obtiene Ken Perlin con su algoritmo de texturas procedurales, realizamos una investigación sobre los distintos tipos de ruidos que él utilizó, así como también con distintas fórmulas para aplicar a ese ruido y obtener así las distintas texturas.

En la sección 2 entraremos en más detalle con respecto a los posibles ruidos, en la sección 3 comenzaremos a explicar cada textura en particular, mostrando cómo fue lograda y mostrando ejemplos de la misma. En la sección 4 mostraremos cómo decidimos representar los distintos *shaders*, y daremos valores recomendados para su uso. Por último, comentaremos los resultados obtenidos así como nuestras conclusiones en la sección 5.

## 2 Ruido

Como todos sabemos, la idea general de Perlin Noise es la de realizar sumas sucesivas de ruidos a distintas amplitudes, para luego aplicarle a esa sumatoria una función que nos determinará el color en el punto.

Entonces, es necesario definir primero el ruido para después poder realizar las sumas correspondientes. Dentro de las posibilidades con las que nos encontramos, resaltaban dos: Ruido Aleatorio y Ruido Mejorado.

## 2.1 Ruido Aleatorio

La idea de ruido aleatorio es básicamente esa. Generamos una matriz de cierto tamaño con números aleatorios entre 0 y 255. De esta forma, se van a ir realizando las sucesivas sumas y su resultado será nuevamente un número aleatorio.

Esta fue la primera implementación de Ken Perlin, que luego fue suplantada por el Ruido Mejorado que comentamos a continuación en la sección 2.2.

## 2.2 Ruido Mejorado

El ruido mejorado parte de la base del ruido aleatorio, originándose con un vector de 256 valores aleatorios entre 0 y 255 inclusive. Luego se crea otro vector de permutación, que es luego utilizado para realizar las sumas de los ruidos.

La ventaja que presenta este tipo de ruido con respecto al aleatorio, es que este es más eficiente para los cálculos que realiza, obteniendo así una mejora en el desempeño del algoritmo para generar las texturas.

Es debido a estas mejoras, presentadas por Ken Perlin en su paper “Improving Noise”, es que decidimos realizar la segunda implementación de ruido para generar nuestras texturas.

# 3 Texturas

Las texturas que implementamos son las siguientes: fuego, agua, material orgánico, piedra tipo granito, madera y mármol. A continuación, mostraremos para cada una de las texturas, la fórmula utilizada y el resultado obtenido.

## 3.1 Fuego y Agua

Para realizar la textura que simule al fuego y al agua, utilizamos la misma fórmula pero variando los colores aplicados.

La fórmula utilizada fue:

$$\text{sum}(\frac{1}{f} * |\text{Noise}|) = |\text{Fnoise}(p)| + \frac{1}{2}|\text{Fnoise}(2p)| + \frac{1}{4}|\text{Fnoise}(4p)| + \dots \quad (1)$$

Donde,  $\text{FNoise}$  es la función que dado un punto  $p$  me devuelve el ruido en ese punto y donde  $f$  es la frecuencia. La idea sería realizar sumas sobre los puntos, donde a medida que se hace más *profunda* la suma van perdiendo fuerza los términos y siempre tomando el valor absoluto.

En las figuras 1 y 2 se observa la textura obtenida para simular fuego así como la textura obtenida para simular agua.

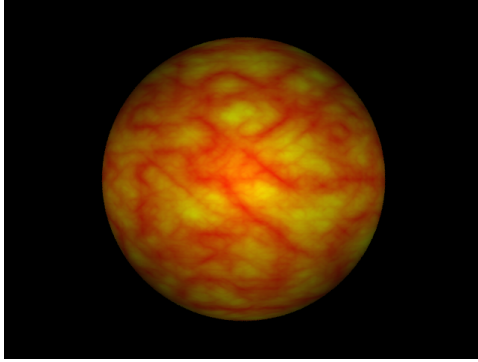


Figure 1: Fuego Procedural

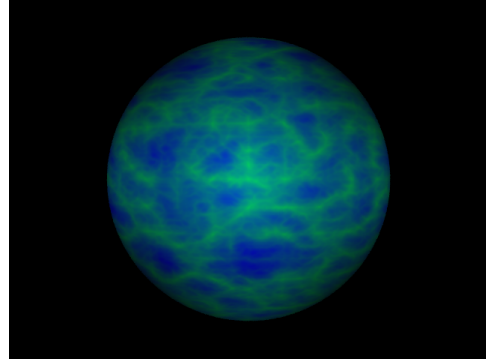


Figure 2: Agua Procedural

### 3.2 Material Orgánico

Para realizar una textura que simule a un material orgánico, tuvimos que determinar primero que era un material orgánico y luego realizar experimentaciones para obtener algo que lo simule. Luego de realizar distintas pruebas, y fallar en el intento, nos inclinamos por utilizar solamente la función de ruido de perlin.

$$Noise = Fnoise(p) + \frac{1}{2}Fnoise(2p) + ... \quad (2)$$

De esta forma, lo que simulamos es una superficie con moho, un tipo de hongos. En la figura 3 se puede observar el resultado obtenido.

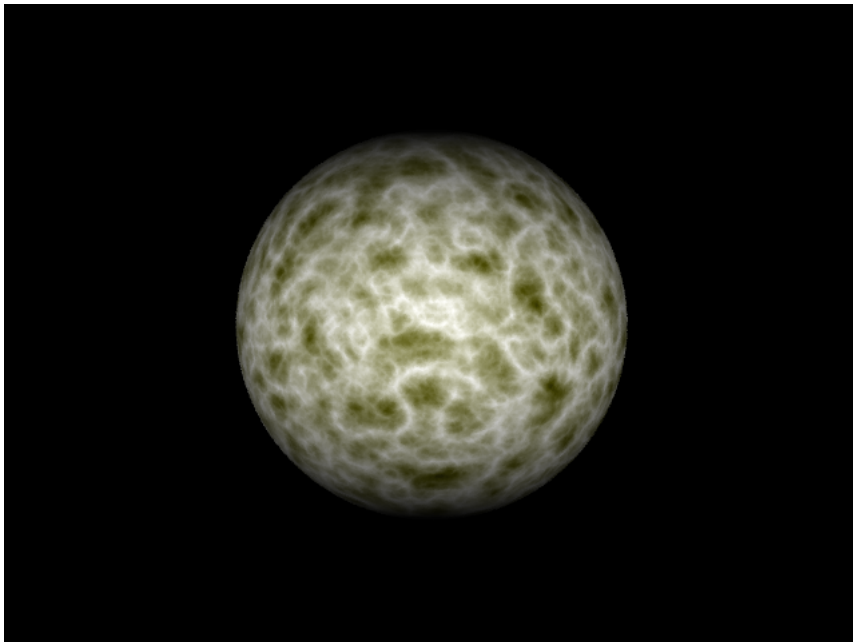


Figure 3: Material Orgánico Procedural

### 3.3 Piedra tipo Granito

Esta textura fue otra de las que nos trajo aparejados cierto problemas. Al investigar la textura del granito, no lograbamos encontrar la fórmula que nos permita simularlo.

Luego de intentar mediante prueba y error, advertimos que utilizando solamente la función de ruido, pero escalandolo a un objeto de mayor tamaño, podíamos obtener algo que simule granito. Es por eso que utilizamos la misma ecuación que para el Material Orgánico, pero viendolo desde muy lejos, donde obtuvimos lo que se puede observar en la figura 4.

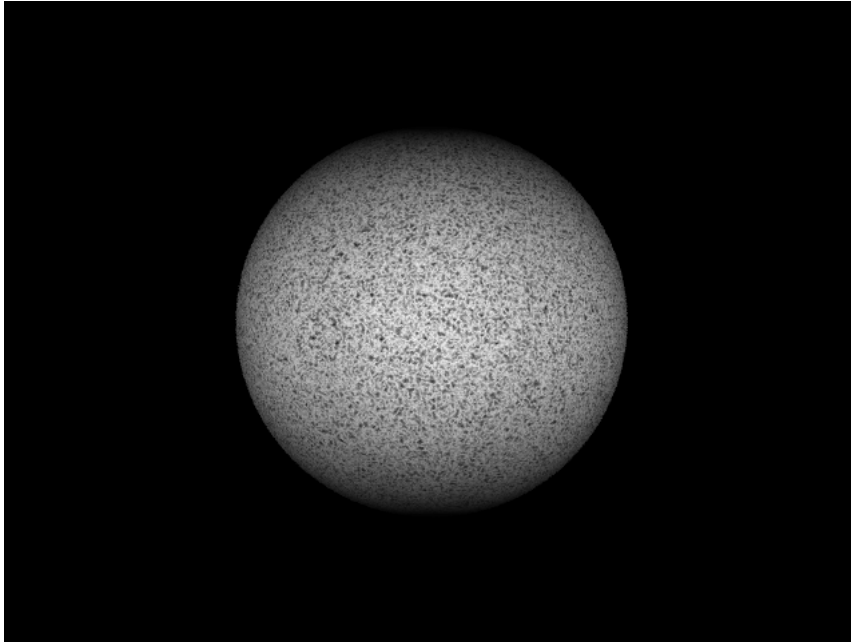


Figure 4: Piedra tipo Granito Procedural

### 3.4 Madera

Para obtener madera, utilizamos la función de ruido sin ningún agregado, pero al resultado obtenido le realizamos una corrección para obtener los anillos que nos dan la impresión de un árbol. Esta corrección es la resta de la parte entera del ruido que se puede observar en la ecuación 4.

$$Noise = Fnoise(p) + \frac{1}{2}Fnoise(2p) + ... \quad (3)$$

$$Noise = Noise - (int)Noise \quad (4)$$

De esta manera, obtuvimos como resultado lo que se puede observar en la figura 5.

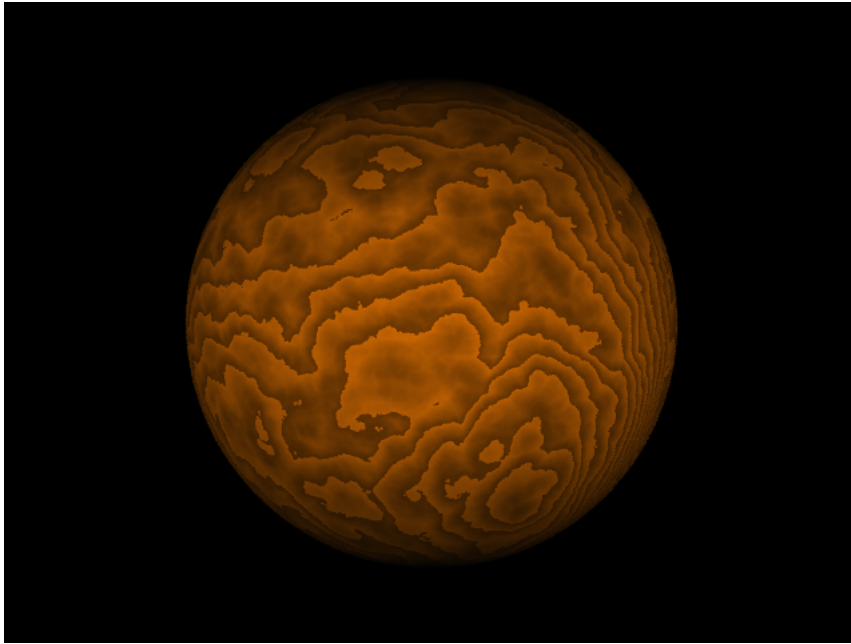


Figure 5: Madera Procedural

### 3.5 Mármol

Para obtener mármol, utilizamos la función propuesta por Ken Perlin. Este consiste en:

$$\sin(x + \sum(\frac{1}{f}|noise|)) = \sin(x + |noise(p)| + \frac{1}{2}|noise(2p)| + \dots) \quad (5)$$

Donde el resultado obtenido se observa en la figura 6.

## 4 Representación

Para representar los distintos tipos de shaders nuevos, nos basamos en la definición de *sunflow*. A continuación mostraremos un ejemplo de una definición y luego indicaremos las distintas opciones que pueden ser utilizadas.

```
shader {
  name fire0
  type fire
  depth 5
  diffuse_initial { "sRGB nonlinear" 1.000 1.000 0.000 }
  diffuse_final { "sRGB nonlinear" 1.000 0.15000 0.000 }
}
```

Este ejemplo, corresponde a la definición de un shader que simula el fuego. Donde *name* es el nombre que le daremos al shader, en este caso *fire0*, el tipo de

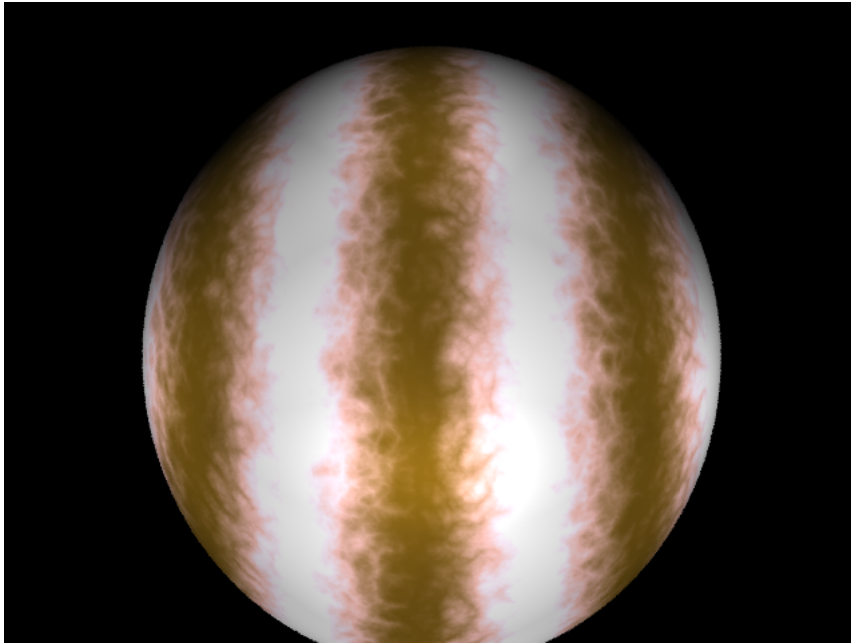


Figure 6: Mármol Procedural

*shader* está dado por *type*, donde las opciones son *fire*, *water*, *organic*, *wood*, *marble* y *stone*. Luego tenemos la profundidad con la que queremos que sume, esto es la cantidad de veces que va a sumar ruido, dado por el parámetro *depth* que en este caso está con valor 5. Por último, los valores de *diffuse<sub>inicial</sub>* y *diffuse<sub>final</sub>* determinan el color de comienzo y de final para el shader. En este caso, los colores iniciales y finales son amarillo y rojo como se puede observar en la figura 1

Tipo	Color RGB Inicial	Color RGB Final
fire	(1.0, 1.0, 0.0)	(1.0, 0.150, 0.0)
water	(0.0, 0.0, 0.50)	(0.0, 0.50, 0.50)
marble	(0.466, 0.340, 0.066)	(0.914, 0.706, 0.633)
wood	(0.392, 0.196, 0.0)	(0.784, 0.392, 0.0)
organic	(0.30, 0.30, 0.0)	(1.0, 1.0, 1.0)
stone	(0.20, 0.20, 0.20)	(1.0, 1.0, 1.0)

Los valores presentados en la tabla que precede, son los valores recomendados para obtener los colores con los que se presentaron los resultados obtenidos con este desarrollo.

## 5 Conclusión

Luego de investigar e implementar Perlin Noise, podemos concluir que como método para obtener texturas procedurales en tiempo real es muy conveniente por la performance.

Además, luego de observar los resultados obtenidos, esta conclusión se ve reforzada, debido a que los resultados obtenidos para la mayoría de las texturas, es muy buena y se asemeja con la realidad como podemos observar en la figura 7. De esta forma, es posible obtener texturas similares a la realidad, con bajo costo de procesamiento y con un costo computacional casi nulo al lado del tiempo insumido en la renderización de las imágenes.

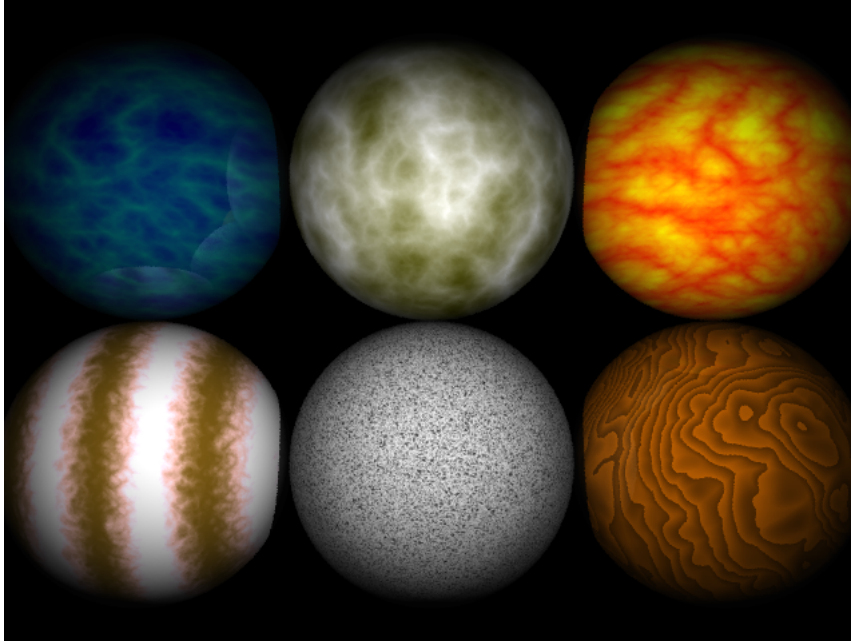


Figure 7: Todas las texturas.